

# بهینه‌سازی سازه‌های صنعتی از منظر انرژی با استفاده از روش تحلیل شبکه‌بی ANP

سیما صمدیان‌فرد (دانشجوی دکتری)

و هب توفیق<sup>\*</sup> (دانشیار)

دانشکده‌ی مهندسی عمران، دانشگاه صنعتی شریف

روند فرایندی مصرف انرژی در صنعت ساخت‌وساز، مهندسان و طراحان سازه را به سمت بررسی روش‌هایی سوق داده است که در طی چرخه ساخت تا تخریب، میزان انرژی کمتری را مصرف می‌کنند. تقویت ویژگی‌های رسانش حرارتی المان‌های سازه‌بی و غیرسازه‌بی در کنار ویژگی‌های مکانیکی و مقاومتی علاوه بر گسترش زمینه‌های کاربردی صالح مذکور، موجب کاهش قابل ملاحظه‌ی میزان انرژی صرفی و کاهش پیامدهای مخرب زیست محیطی می‌شود، که هم‌سو با اهداف توسعه‌ی پایدار نیز است. در پژوهش حاضر، از روش ارتقاء‌یافته‌ی تحلیل شبکه‌بی (ANP) به منظور انتخاب پانل سازه‌بی و فولاد مناسب برای اجزاء سازه‌بی، به عبارت بهینه از نظر انرژی، استفاده شده است. معیارهای انتخاب سازه‌بی بهینه در مطالعه‌ی حاضر، ضریب رسانش حرارتی پانل‌ها، مدت زمان تأخیر حرارتی، وزن سازه و هزینه ساخت هستند. به منظور محاسبه‌ی پارامترهای مذکور با مدل‌سازی یک سوله‌ی سه دهانه‌ی در نرم‌افزار SAP ۲۰۰۰V۱۹/۲ پارامترهای از روش ANP، انتخاب سازه‌بی بهینه از نظر میزان مصرف انرژی میسر شد. نتایج حاصل نشان می‌دهند که سوله‌ی فولاد ST37 استفاده از پانل با ضخامت ورق عالی<sup>۴</sup> سانتی‌متری، رفتاری بهینه از منظر معیارهای مفروض خواهد داشت.

**واژگان کلیدی:** سوله، پانل‌های ساختمانی، کاهش مصرف انرژی، پارامترهای رسانش حرارتی، بهینه‌سازی.

## ۱. مقدمه

استفاده از فولاد ST52، تا ۳۰٪ میزان رسانش حرارتی را کاهش می‌دهد.<sup>[۱]</sup> به همین علت، بررسی تأثیر استفاده از پانل‌های عالی حرارتی به همراه فولادهای با آلیاژهای با درصد کربن‌های مختلف در میزان انتقال انرژی حرارتی ضروری به نظر می‌رسد.

معیارهای مختلفی باید به منظور انتخاب سازه‌بی بهینه از نظر مصرف انرژی در نظر گرفته شود. چنین سازه‌بی باید در کنار تأمین پارامترهای مقاومتی و حرارتی، از نظر هزینه نیز در وضعيت مطلوبی باشد.<sup>[۲]</sup> بنابراین انتخاب چنین سیستمی نیازمند روش‌های انتخاب چندمعیاره است. یکی از روش‌های مذکور، روش تحلیل شبکه‌بی (ANP)<sup>[۳]</sup> است.<sup>[۴]</sup> روش ANP با ایجاد شبکه‌ی از المان‌های انتخابی و شناسایی روابط بین آن‌ها، حالت‌های مختلف را در نظر می‌گیرد. از روش ANP در مطالعات بسیاری استفاده شده است. آتماکا و باسر<sup>۲</sup> (۲۰۱۲)،<sup>[۵]</sup> نحودی توزیع انرژی از نیروگاه‌ها را بررسی کردند. همچنین یوهان و همکاران (۲۰۱۵)،<sup>[۶]</sup> با استفاده از روش ANP، یک روش سودمند بهسازی در چین، و میلانی و همکاران (۲۰۱۳)،<sup>[۷]</sup> نیز با استفاده از روش اخیر، مصالح مناسبی برای یک فضای پیمانه انتخاب کردند.

بنچ فرایندی نیاز به کاهش مصرف انرژی و بهبود سطح عملکرد زیرساخت‌های موجود، روش‌های نوین ساخت و ساز و تعبیه‌ی سیستم‌های جدید عالی حرارتی برای سازه‌های صنعتی را موردنوجه پژوهشگران سازه قرار داده است.<sup>[۸]</sup> در سال ۲۰۱۳، ۴۵٪ از میزان کل انرژی مصرفی در ایران به بخش ساخت و ساز ارتباط داده شده است که ۴ الی ۵ برابر انرژی مصرفی کشورهای اروپایی است.<sup>[۹]</sup> به همین دلیل، باید این میزان انرژی مصرفی که به عنوان عامل اصلی تغییر اقلیم شناخته شده است، کنترل و روش‌های کاهش آن ارائه شوند.<sup>[۱۰]</sup>

بخش اعظمی از اتفاق انرژی سازه‌های صنعتی از سطوح غیرسازه‌بی آن صورت می‌پذیرد. با این حال، ۲۵٪ از این میزان اتفاق انرژی حرارتی به اجزاء سازه‌بی آن مرتبط می‌شود. درصد کربن موجود در آلیاژهای مختلف فولاد موجب تقاضا در میزان رسانش حرارتی فولادها می‌شود. نتایج مطالعات گوناگون نشان می‌دهند که

\* نویسنده مسئول

تاریخ: دریافت ۲۲/۰۴/۱، اصلاحیه ۱۶/۰۱/۷، پذیرش ۱۶/۰۱/۸، ۱۴۰۰/۱/۱.

DOI:10.24200/J30.2022.60619.3120

استناد به این مقاله:

صمدیان‌فرد، سیما و توفیق، وهب (۱۴۰۲). «بهینه‌سازی سازه‌های صنعتی از منظر انرژی با استفاده از روش تحلیل شبکه‌بی ANP»، مهندسی عمران شریف، (۱)، ۳۹-۲، ص. ۲۷-۲۳.

علی‌الخصوص ضریب هدایت حرارتی بستگی دارد. پارامتر ضریب هدایت حرارتی نیز به ویژگی‌های مکانیک حرارتی مصالح مربوط است که در رسانش حرارتی، توزیع پروفیل دمایی در راستای ضخامت مواد و عایق‌های پوشاننده جداره ساختمان‌ها تأثیر می‌گذارد. برقراری جریان حرارتی در داخل نمونه برای بدست آوردن رژیم همگن دائمی، ضروری است. هنگامی که جریان حرارتی برقرار شود، ضریب هدایت حرارتی با استفاده از قانون فوریه (رابطه‌ی ۲)، محاسبه می‌شود:

$$q = k \frac{dT}{dx} \quad (2)$$

که در آن،  $q$  نیخ جریان حرارتی ( $W$ ),  $dT$  اختلاف دمایی بین دو سمت نمونه ( ${}^{\circ}C$ )،  $dx$  ضخامت نمونه ( $m$ ) و  $k$  ضریب هدایت حرارتی ( $W \cdot {}^{\circ}C^{-1} \cdot m^{-1}$ ) هستند. روش‌های اندازه‌گیری ضریب هدایت حرارتی به دوگره اصلی روش‌های پایا و گذرا تقسیم می‌شوند و عوامل قابل ملاحظه‌ی در تعیین آن‌ها تأثیر می‌گذارند، که عبارت‌اند از: اندازه‌ی نمونه‌ها، مدت زمان انجام آزمایش و ابزارهای اندازه‌گیری. در روش ذکر شده، سیمی از الیاژ پلاستین حرارت دیده در راستای مرکز یک نمونه‌ی استوانه‌ی شکل همگن قرار می‌گیرد به صورت تابع توانی با زمان گرم می‌شود. شرایط مزی در آزمایش اخیر شامل دو صفحه‌ی سرد و گرم است و با تکیه بر این فرضیات انجام می‌شود:

۱. صفحات دمایی در تماس کامل با نمونه قرار دارند.
۲. جریان حرارتی تک‌محوره در راستای خط مرکزی نمونه برقرار است.

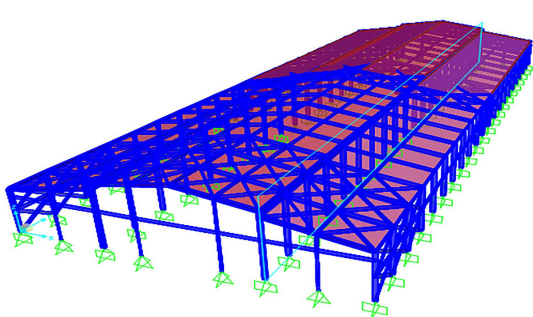
نیخ افزایش دمای سیم به قابلیت رسانش ماده بستگی دارد. در پژوهش حاضر، روش جدیدی برای محاسبه‌ی رسانش حرارتی مواد پیشنهاد شده است. مشکل اصلی روش‌های پایا، مدت زمان طولانی است که برای آزمایش صرف می‌شود. در صورت استفاده از محیط‌های بسته، هوای محبوس موجب افزایش فشار داخلی محفظه می‌شود. با توجه به اینکه پارامترهای فشار و دما ارتباط مستقیمی با هم دارند، اندرکش این دو سرعت، تغییرات دمایی را افزایش می‌دهد و دما در دو طرف نمونه در مدت زمان کمتری ثابت می‌شود.

### ۳. روش پژوهش

#### ۱.۳. مدل‌سازی سوله

به منظور مطالعه‌ی پارامترهای وزن و هزینه، سوله‌ی نشان داده شده در شکل ۲، در نرم‌افزار SAP<sup>۲۰۰۰</sup> مدل شده است.

سازه‌ی صنعتی مورد مطالعه، یک سوله با دو نیم‌سوله‌ی مجاور بوده است (شکل ۳) که هر یک از آن‌ها، دارای جرثقیل بوده است؛ به طوری که ظرفیت جرثقیل



شکل ۲. نمای سه‌بعدی سوله.

در پژوهش حاضر، از روش ارتقاء‌یافته‌ی تحلیل شبکه‌ی به منظور انتخاب پانل سازه‌ی و فولاد مناسب برای اجزاء سازه‌ی - به عبارت بهتر، سازه‌ی بهینه از نظر انرژی - استفاده شده است. المان‌های منتخب برای انتخاب سازه‌ی بهینه در مطالعه‌ی حاضر، ضریب رسانش حرارتی پانل‌ها، مدت زمان تأخیر حرارتی، وزن سازه، و هزینه بوده‌اند. درنهایت، با استفاده از روش ANP، نیز انتخاب سازه‌ی بهینه از نظر میزان مصرف انرژی میسر شده است. به منظور محاسبه‌ی پارامترهای مذکور سوله‌ی سه‌بعدی در نرم‌افزار SAP<sup>۲۰۰۰</sup> مدل شده است.

## ۲. تئوری و فرضیات خصوصیات رفتاری مصالح

#### ۲.۱. مدت زمان تأخیر و ضریب کاهشی

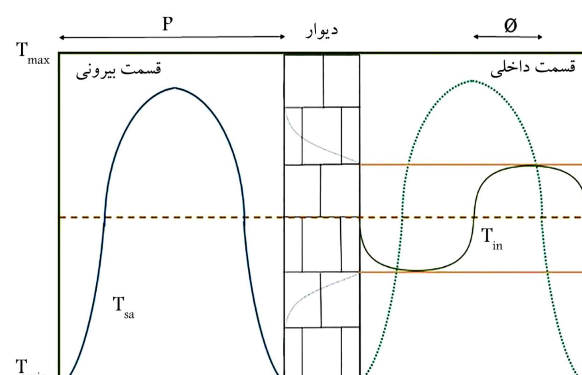
پروفیل دمایی در راستای ضخامت دیوار استگی به تغییرات دمایی دو طرف دیوار دارد. هنگامی که یک سمت دیوار در معرض تابش منبع انرژی مانند خورشید است، در راستای مقطع دیوار، افزایش دمای تدریجی رخ می‌دهد و نسبتی از مقدار تغییر یافته‌ی آن به سمت داخلی نمونه می‌رسد. مدت زمانی که طول می‌کشد تا پیده‌ی مذکور رخ دهد را مدت زمان تأخیر و نسبت بزرگی این دو مقدار را ضریب کاهشی می‌نامند. ویژگی‌های مکانیک حرارتی مصالح ساختمانی در مقدار پارامترهای اشاره شده، تأثیر می‌گذارند. در طول این حالت گذرا، توزیع پروفیل دمایی به صورت سینوسی تغییر می‌کند. متغیرهای مدت زمان تأخیر به صورت رابطه‌ی ۱ تعریف می‌شوند:

$$LT = T_{\max,out} - T_{\max,in} \quad (1)$$

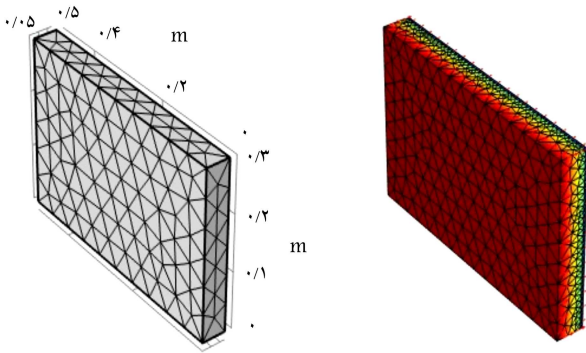
که در آن،  $T_{\max,out}$  بیشینه‌ی دما و  $T_{\min,out}$  کمینه‌ی دمایی است که سطح خارجی دیوار که در تماس با محیط بیرون است، تجربه می‌کند. به طور مشابه،  $T_{\max,in}$  بیشینه‌ی دما و  $T_{\min,in}$  کمینه‌ی دمایی است که سطح داخلی دیوار تجربه می‌کند. در شکل ۱، نمای شماتیکی از پارامتر مدت زمان تأخیر مشاهده می‌شود. برای یک دوره‌ی تابوت از بارگذاری حرارتی،  $P$  دوره‌ی تابوت،  $T_{Sa}$  مقدار پروفیل بارگذاری حرارتی اعمال شده و  $T_{in}$  مقدار تغییرات دمایی است که هوا محيط داخل تجربه می‌کند. در شکل ۱،  $\Phi$  به عنوان مدت زمان تأخیر شناخته می‌شود که همان مدتی است که طول می‌کشد تا هر دو طرف دیوار به بیشترین دمای خود برسد.

#### ۲.۲. ضریب رسانش حرارتی

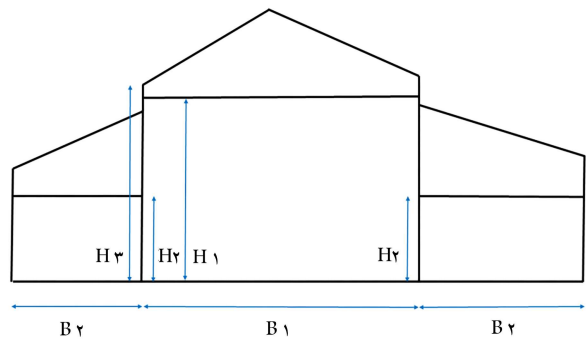
ویژگی‌های نارسانایی حرارتی سازه‌ها به پارامترهای حرارتی مواد سازنده‌ی آن‌ها،



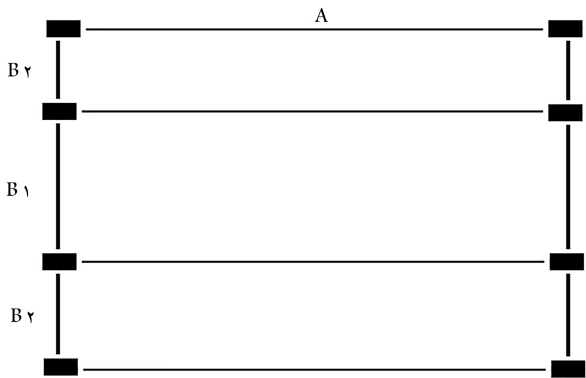
شکل ۱. نمای شماتیک پارامتر مدت زمان تأخیر.



شکل ۵. نمونه بی از پانل مدل سازی شده در نرم افزار-COMSOL MULTIPHYSICS.



شکل ۳. نمای جانبی سازه های مطالعه شده.



شکل ۴. پلان سازه.

جدول ۱. ابعاد سازه.

$H_1(m)$	$H_2(m)$	$H_3(m)$	$B_1(m)$	$B_2(m)$	$A(m)$
۱۳	۷	۱۱	۲۲	۱۳	۱۲۵

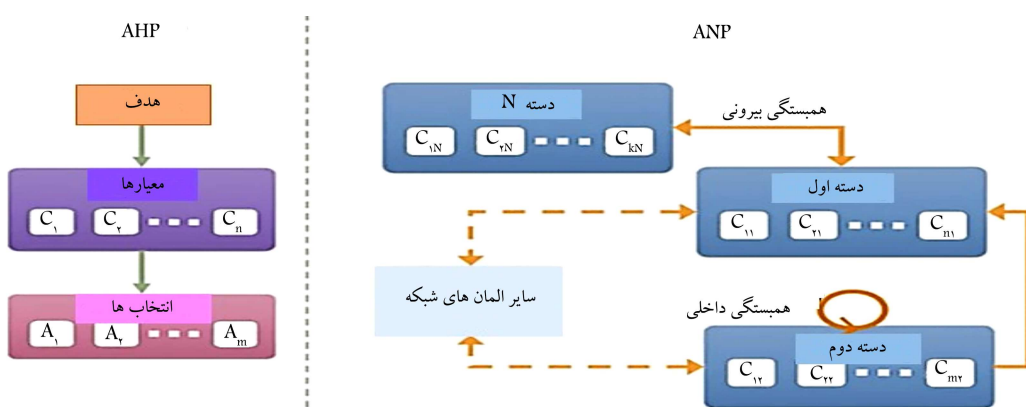
سازه اصلی، ۱۰۰ تن و جرقیل سازه های فرعی، ۵۰ تن بوده است. ابعاد سوله در شکل ۴ و جدول ۱ ارائه شده است. ساختمان مذکور با کاربری تجاری - صنعتی، یک طبقه دارد. سازه های اشاره شده، یک بار با مقاطع ساخته شده از فولاد ST۳۷ و با ریگر با فولاد ST۵۲ تحلیل و طراحی شده است.

### ۲.۳. تعریف پانل های عایق

در مطالعه های حاضر ۵ نوع پانل بررسی شده و ضخامت ورق XPS ۳ در هر یک از آنها از ۱ تا ۵ سانتی متر متغیر بوده است. سه نوع از پانل های مذکور (P۲، P۱، P۳) دارای ورق الومینیوم ۴۰۰۰ بودند. با افزایش ضخامت و داشتن ورق الومینیومی، قیمت پانل تا ۲/۵ برابر پانل ساده افزایش می یابد. در جدول ۲، مشخصات پانل های بررسی شده در مطالعه های حاضر را به شده است. ضریب هدایت حرارتی و مدت زمان تأخیر حرارتی پانل های مذکور- مطابق روش ذکر شده در نوشتار توفیق و صمدیان فرد (۲۰۲۰)، با استفاده از نرم افزار COMSOL MULTIPHYSICS محاسبه و در جدول ۳ ارائه شده است. مطابق شکل ۵، ابعاد دیوار مدل شده،  $۳۰ \times ۵ \times ۵$  سانتی متر بوده و به صورت مثلثی با طول ضلع بیشینه ۵ سانتی متری، مشبتدی شده است. به منظور مدل سازی دیوار از مازول Heat Transfer استفاده شده است که تفاوت در شار حرارتی، ضرایب هدایت حرارتی و مدت زمان تأخیر محاسبه شده اند.

### ۳. تحلیل نتایج

پارامترهای بهینه سازی، شامل: وزن، هزینه، ضریب هدایت حرارتی و مدت زمان تأخیر حرارتی بوده اند. پارامترهای حرارتی مطابق جدول ۳ محاسبه شده اند. نتایج نشان می دهد که با افزایش ضخامت لایه XPS، از مقدار ضریب هدایت حرارتی کاسته شده و مدت زمان تأخیر حرارتی افزایش یافته است. با این حال، عدم وجود ورق الومینیومی، تأثیر قابل توجهی در افزایش مدت زمان تأخیر با افزایش ضخامت XPS داشته است. از طرف دیگر، با طراحی سازه به روش تحلیل طیفی و با دو نوع فولاد ST۳۷ و ST۵۲، وزن سازه به ترتیب ۳۲۰ و ۲۲۵ تن به دست آمده است. به علاوه، هزینه ساخت سوله نیز کاهش یافته است. قابل ذکر است که تفاوت در هزینه ساخت پانل ها، موجب تفاوت های محاسبه شده اند.

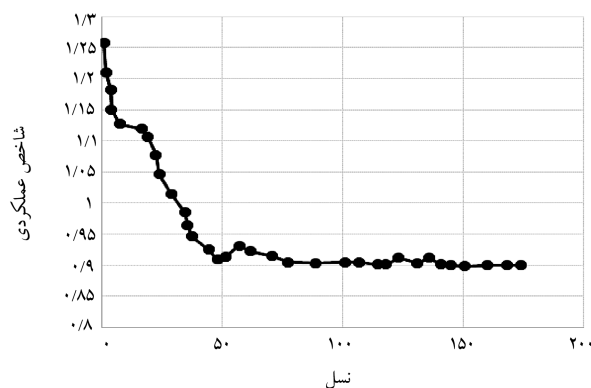

 شکل ۶. نمای شماتیک شبکه‌های AHP و ANP.<sup>[۶]</sup>

جدول ۲. مشخصات پانل‌ها.

شماره	معرف پانل	ضخامت ورق (cm)	ورق آلومینیوم	هزینه ( واحد )	وزن واحد سطح (g/m <sup>2</sup> )
۱	P1	۱	دارد	۱/۰	۹۷۰
۲	P2	۲	دارد	۱/۷	۱۱۵۰
۳	P3	۳	دارد	۲/۵	۱۳۴۰
۴	P4	۴	ندارد	۱/۶۵	۱۲۷۰
۵	P5	۵	ندارد	۲/۱	۱۳۲۰

جدول ۳. ویژگی‌های حرارتی پانل‌های عایق.

شماره	معرف پانل	ضریب هدایت حرارتی (W/m.k)	ضریب هدایت حرارتی تاخیر (m)	مدت زمان
۱	P1	۰/۲۴	۹۴	
۲	P2	۰/۱۸	۱۱۱	
۳	P3	۰/۱۲	۱۲۰	
۴	P4	۰/۱۱	۱۴۸	
۵	P5	۰/۰۹	۱۵۶	



شکل ۸. شاخص عملکردی روش ANP.

## ۵. نتیجه‌گیری

به منظور یافتن سازه‌ای صنعتی بهینه با درنظرگرفتن پارامترهای حرارتی، یک سوله با ابعاد ذکر شده به روش تحلیل طیفی یکبار با فولاد ST37 و بار دیگر با فولاد آنالیز و طراحی شد. در دیوارهای سازه‌ی مذکور، از ۵ نوع پانل استفاده و پارامترهای حرارتی آن‌ها با استفاده از نرم‌افزار COMSOL MULTIPHYSICS محاسبه شده است. با درنظرگرفتن ۴ متغیر: وزن، هزینه، مدت زمان تأخیر حرارتی و ضریب هدایت حرارتی، روش بهینه‌سازی ANP بر سازه اعمال و پس از ۱۷۸ نسل، سوله با فولاد ST37 و استفاده از فولاد ST52 به عنوان حالت بهینه انتخاب شد. ملاحظه می‌شود در صورتی که طراحی با فولاد ST52 انجام گیرد، با وجود اینکه سازه وزن کمتری خواهد داشت، به دلیل افزایش خارج از محدوده‌ی هزینه‌ها، طرح داده است. در شکل ۸، عملکرد روش ANP و تعداد نسل‌ها مشاهده می‌شود.

$$\begin{pmatrix} W_{11} & \cdots & W_{1k} & \cdots & W_{1n} \\ \vdots & \ddots & \vdots & \ddots & \vdots \\ W_{k1} & \cdots & W_{kk} & \cdots & W_{kn} \\ \vdots & \ddots & \vdots & \ddots & \vdots \\ W_{n1} & \cdots & W_{nk} & \cdots & W_{nn} \end{pmatrix}$$

 شکل ۷. ماتریس ANP.<sup>[۶]</sup>

خواهد شد. با اجرای روش بهینه‌سازی ANP، پس از ۱۷۸ نسل، حالت بهینه به دست آمد. ساخت سوله با استفاده از فولاد ST37 و استفاده از پانل P4 به عنوان حالت بهینه انتخاب شد. این در حالی است که استفاده از فولاد ST52، وزن سازه را کاهش داده است، ولی قیمت بالای آن، شاخص عملکردی پارامتر وزن را کاهش داده است. در شکل ۸، عملکرد روش ANP و تعداد نسل‌ها مشاهده می‌شود.

## پابندی ها

1. Analytic Network Process (ANP)
2. Atmaca & Basar
3. Extruded Polystyrene (XPS)
4. Analytic Hierarchy Process (AHP)

## منابع (References)

1. Toufigh, V. and Kianfar, E. "The effects of stabilizers on the thermal and mechanical properties of rammed earth at various humidities and their environmental impacts", *Construction and Building Materials*, **200**, pp. 616-629 (2019).
2. Samadianfard, S. and Toufigh, V. "Energy use and thermal performance of rammed-earth materials", *J. Mater. Civ. Eng.*, **32**(10), p. 04020276 (2020).
3. Saidi, M., Cherif, A.S., Zeghamti, B. and et al. "Stabilization effects on the thermal conductivity and sorption behavior of earth bricks", *Construction and Building Materials*, **167**, pp. 566-577 (2018).
4. Katunsky, D., Korjenic, A., Katunska, J. and et al. "Analysis of thermal energy demand and saving in industrial buildings: A case study in Slovakia", *Build. Environ.*, **67**, pp. 138-146 (2013).
5. Kosarimovahhed, M. and Toufigh, V. "Sustainable usage of waste materials as stabilizer in rammed earth structures", *Journal of Cleaner Production*, **277**, p. 123279 (2020).
6. Pakand, M. and Toufigh, V. "A multi-criteria study on rammed earth for low carbon buildings using a novel ANP-GA approach", *Energy Build.*, **150**, pp. 466-476 (2017).
7. Atmaca, E. and Basar, H.B. "Evaluation of power plants in Turkey using Analytic Network Process (ANP)", *Energy*, **44**(1), pp. 555-563 (2012).
8. Xu, P., Chan, E.H.W., Visscher, H.J. and et al. "Sustainable building energy efficiency retrofit for hotel buildings using EPC mechanism in China: Analytic Network Process (ANP) approach", *Journal of Cleaner Production*, **107**, pp. 378-388 (2015).
9. Milani, A.S.; Shanian, A.; Lynam, C. and et al. "An application of the analytic network process in multiple criteria material selection", *Mater. Des.*, **44**, pp. 622-632 (2013).